

ской кинетике. Существенный момент при рассмотрении — адиабатичность протекания реакции, что в конечном итоге приводит к требованию, чтобы характеристические времена фотоимпульса и процесса обрыва цепи были короче характеристического времени теплоотвода  $\tau_t$ , т. е.

$$\tau_t \gg 1, \quad \tau_t \gg \delta^{-1}.$$

Существование критического условия обусловлено конкуренцией теплового ускорения реакции и замедления ее вследствие гибели активных центров. Представление о масштабе влияния теплового ускорения дают следующие оценки.

Глубина превращения реагентов без учета теплового ускорения реакции при  $\Delta = \Delta_{kp}$  составляет  $\lambda = \gamma \Delta_{kp} \sim \gamma \ll 1$ . В то же время при учете теплового ускорения практически  $\lambda = 1$  (если, например,  $\gamma^{-1} = 20 \div 100 \lambda$  увеличивается в  $20 \div 100$  раз).

Кинетическое поведение рассмотренной достаточно общей модельной системы полностью описывается параметрами  $\Delta$ ,  $\delta$ ,  $\varphi$ . Следовательно, экспериментально исследуя структуру этих параметров (зависимость от концентраций компонентов смеси, давления, энергии инициирования и т. д.), в принципе можно установить механизм химической реакции в широком температурном интервале как в квазизотермических, так и во взрывных условиях. Если же механизм реакции известен, то развитые представления могут быть применены к определению констант скоростей процессов продолжения, обрыва и разветвления цепи, поскольку они входят в параметры  $\Delta$ ,  $\delta$ ,  $\varphi$ . Для этой цели можно пользоваться формулами (11) — (18). Такой подход был использован [3, 6] для исследования процессов обрыва цепи в фотоинициируемой реакции  $F_2 + D_2(H_2)$ , ингибиранной  $O_2$ .

Протекание химической реакции в результате импульсного фотоинициирования в условиях прогрессивного самоускорения, обусловленного накоплением в системе тепла (или активных центров), представляется оправданным назвать фототепловым взрывом.

Отделение ИХФ АН СССР,  
Черноголовка

Поступила в редакцию  
5/VIII 1975

#### ЛИТЕРАТУРА

1. Р. Г. В. Норриш.— В сб.: Химическая кинетика и цепные реакции. М., «Наука», 1966.
2. Тезисы докладов на 2-м Всесоюзном совещании по фотохимии. Сухуми, 1—4 окт. 1974 г. М., 1974.
3. Г. К. Васильев, В. В. Вижини др. ХВЭ, 1975, 9, 2, 154.
4. Н. Н. Семенов. Цепные реакции. Л., ОНТИ, 1934.
5. Д. А. Франк-Каменецкий. Диффузия и теплопередача в химической кинетике. М., «Наука», 1967.
6. Г. К. Васильев, Е. Ф. Макаров, Ю. А. Чернышев. Кинетика и катализ, 1975, 16, 2, 320.

#### КРИТИЧЕСКИЕ УСЛОВИЯ ДЛЯ НЕРАВНОВЕСНОГО РЕЖИМА ЭКЗОТЕРМИЧЕСКОЙ РЕАКЦИИ

И. С. Заслонко, С. М. Когарко, Е. В. Мозжухин, Ю. К. Мукосеев

Одна из основных особенностей процессов, протекающих с автотускорением за счет внутренней энергии системы,— наличие критических условий. Подробно исследованы критические условия для цепных

реакций и для теплового взрыва [1, 2] и меньше для энергетических цепных процессов. Это объясняется недостаточностью сведений, полученных до последнего времени, о процессах обмена колебательной энергией. Обзор основных результатов в области исследования энергетических цепных реакций проведен в [1, 3, 4].

В данной работе изложены экспериментальные и теоретические результаты исследования критических явлений для реакций, протекающих в неравновесном режиме с энергетической обратной связью.

Эксперименты выполнены на ударной трубе в падающих и отраженных волнах. В качестве газов-разбавителей использовались аргон, азот и гелий. Содержание реагирующего компонента варьировалось от 1 до 10 %. Диапазон температур 1000—2200 К, давлений 1—5 атм. Установка и методики измерений подробно описаны в [5, 6].

В данной работе использовалась многоканальная регистрация для измерения следующих величин, меняющихся в ходе реакции:

- 1) относительной заселенности отдельных колебательных уровней многоатомных молекул по излучению в ИК-диапазоне или по поглощению в электронно-колебательном спектре;

- 2) колебательной температуры  $T_v$  отдельных групп колебательных уровней многоатомных молекул;

- 3) температуры термализованных степеней свободы  $T$ , которую в дальнейшем будем называть газовой температурой;

- 4) теплоты реакции  $Q$ , выделяющейся в термализованные степени свободы; для измерения  $Q$  применялась методика, описанная в [6].

Рассмотрим кратко метод нахождения колебательной температуры на основе одновременных измерений распределения поглощающей способности молекул в двух спектральных интервалах электронно-колебательно-вращательного спектра. Отношение оптических плотностей для длин волн  $\lambda_1$  и  $\lambda_2$  можно записать в виде

$$D_1/D_2 = A_1/A_2 \cdot \exp(-\Delta E/RT_v^{1,2}), \quad (1)$$

где  $A_1/A_2$  — отношение коэффициентов, определяющих заселенность и вероятность оптических переходов с соответствующими группами колебательных уровней;  $\Delta E$  — разность энергий тех же уровней;  $T_v^{1,2}$  — колебательная температура уровней. Для исключения из (1) отношения  $A_1/A_2$  проще всего воспользоваться измеряемым отношением оптических плотностей во фронте волны в равновесных условиях при  $T_0$

$$D_1^0/D_2^0 = A_1/A_2 \cdot \exp(-\Delta E/RT_0), \quad (2)$$

тогда из (1) с помощью (2) получаем формулу

$$T_v^{1,2} = \left\{ 1/T_0 - R/\Delta E \cdot \ln \frac{D_1/D_2}{D_1^0/D_2^0} \right\}^{-1}. \quad (3)$$

Рассмотрим основные экспериментальные данные, указывающие на существование критических значений «внешних» параметров:  $T$  — температура,  $p$  — давление,  $x$  — содержание активной реагирующей компоненты в смеси. Неравновесный режим реализуется только в том случае, если эти параметры удовлетворяют неравенствам

$$T_n^* < T < T_b^*; \quad p_n^* < p < p_b^*; \quad x > x^*,$$

где  $n$  и  $b$  — нижний и верхний пределы соответственно. Наиболее подробно в работе исследована температурная граница неравновесного

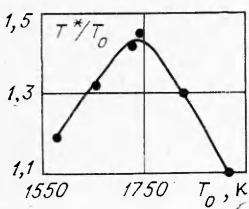


Рис. 1. Зависимость  $T_v/T_0$  от  $T_0$  для смеси  $\text{N}_2\text{O} : \text{CO} : \text{Ar} = (4 : 1 : 36)$ .

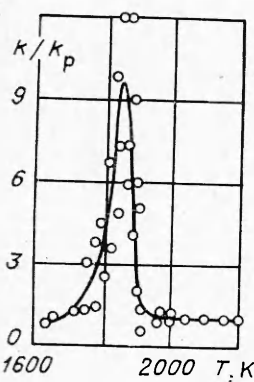


Рис. 2. Зависимость  $k/k_p$  от  $T$  для смеси  $\text{N}_2\text{O} : \text{CO} : \text{Ar} = (1 : 10 : 30)$ .

меньше, чем для смеси  $\text{HN}_3 : \text{N}_2$ , а измерения проведены в зоне развитой неравновесности.

Для теоретического анализа критических условий неравновесного режима реакции удобно (как и в [5, 8]) моделировать реагирующую систему набором гармонических осцилляторов, одна часть которых принадлежит многоатомным молекулам, а другая — двухатомным молекулам (например, молекулам  $\text{N}_2$ , образующимся при распаде  $\text{HN}_3$ ,  $\text{N}_2\text{O}$  или в реакции  $\text{N}_2\text{O} + \text{CO}$ ).

Схема колебательных уровней, примененная для анализа исследованных систем, показана на рис. 4. Осцилляторы многоатомных молекул разбиваются на две группы, одна из которых ( $B$ ) эффективно связана  $V-V$ -обменом с возбужденными продуктами реакции ( $A$ ), а другая группа низкочастотных осцилляторов ( $C$ ) вследствие быстрых  $V-T$ -переходов обычно имеет температуру, близкую к  $T$ . Как и в [5, 8], предполагается, что  $V-V$ -обмен внутри каждой группы осцилляторов происходит достаточно быстро, что позволяет использовать колебательную температуру для каждой группы уровней.

Запишем систему релаксационных уравнений для трех групп осцилляторов  $A$ ,  $B$ ,  $C$  в одноквантовом приближении с уч-

режима реакции, поэтому изложенные ниже результаты относятся в основном к температурным границам  $T_n^*$  и  $T_b^*$ . Экспериментально установлено, что в зоне неравновесности:

1) колебательная температура некоторых типов колебаний ( $T_v$ ) существенно превышает газовую температуру  $T$ , т. е.  $T_v/T > 1$  (рис. 1).

2) отношение наблюданной константы скорости к ее равновесному значению  $k_p$  значительно больше 1 (рис. 2). Аналогичная картина имеет место и при распаде  $\text{HN}_3$ ;

3)  $Q/Q_p < 1$  ( $Q_p$  — равновесная теплота реакции). Более подробно величина  $Q$  в неравновесном режиме исследована в [6].

Существование критической температуры и критической парциальной концентрации можно проиллюстрировать на примере наблюдавшихся констант скорости в смесях с различным процентным содержанием  $\text{HN}_3$  (рис. 3). Для смеси (2) парциальная концентрация  $\text{HN}_3$  ниже критической  $x^*$ , поэтому наблюдавшая энергия активации  $E_a$  близка к «нормальной». Для смеси (1)  $x > x^*$ , поэтому  $k^1 > k^2$  и  $E_a^1 > E_a^2$ . Пересечение прямых для смесей (1) и (2) происходит при  $T = 1100$  К, что указывает на существование критической температурной границы. Иное поведение константы скорости в смеси  $\text{HN}_3 : \text{Ar}$  объясняется тем, что в этом случае  $T_n^*$  значительно

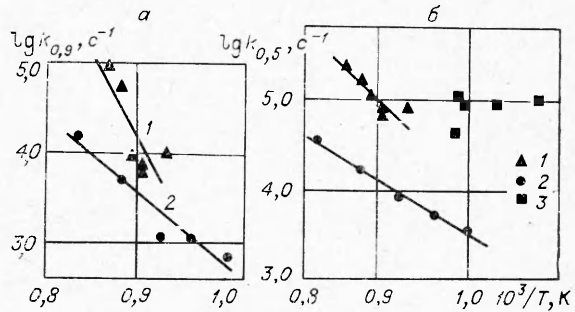
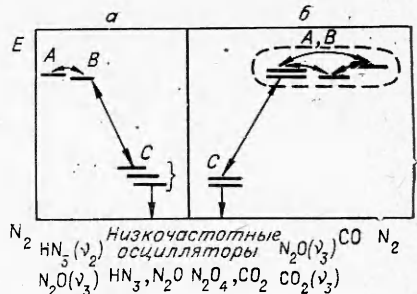


Рис. 3. Температурная зависимость наблюданной константы скорости распада  $\text{HN}_3$  на ранних  $\alpha = 0,9$  (а) и поздних  $\alpha = 0,5$  (б) стадиях.

1 —  $\text{HN}_3 : \text{N}_2 = (1 : 19)$ ; 2 —  $\text{HN}_3 : \text{N}_2 = (1 : 34)$ ; 3 —  $\text{HN}_3 : \text{Ar} = (1 : 19)$ .

Рис. 4. Энергетическая диаграмма уровней ансамбля осцилляторов для смесей газов.  
а)  $\text{HN}_3-\text{N}_2$ ,  $\text{N}_2\text{O}-\text{N}_2$ ; б)  $\text{N}_2\text{O}-\text{CO}-\text{CO}_2-\text{N}_2$ .



том химического источника колебательной энергии в виде возбужденных продуктов реакции  $A$  и потерь колебательной энергии в актах диссоциации

$$\frac{d\varepsilon_A}{dt} = \frac{\varepsilon_A^0 - \varepsilon_A}{\tau_{VV}^A} + \frac{1}{\tau_{VV}^{AB}} [\varepsilon_B(\varepsilon_A + 1) - \varepsilon_A(\varepsilon_B + 1) \exp\left(\frac{\theta_A - \theta_B}{T}\right)] + \\ + \frac{1}{\tau_{VV}^{AC}} [\varepsilon_C(\varepsilon_A + 1) - \varepsilon_A(\varepsilon_C + 1) \exp\left(\frac{\theta_A - \theta_C}{T}\right)] + (\varepsilon_x - \varepsilon_A) \frac{dN_A}{N_A dt}, \quad (4)$$

$$\frac{d\varepsilon_B}{dt} = \frac{\varepsilon_B^0 - \varepsilon_B}{\tau_{VV}^B} + \frac{1}{\tau_{VV}^{BA}} [\varepsilon_B(\varepsilon_A + 1) - \varepsilon_A(\varepsilon_B + 1) \exp\left(\frac{\theta_A - \theta_B}{T}\right)] + \\ + \frac{1}{\tau_{VV}^{BC}} [\varepsilon_C(\varepsilon_B + 1) - \varepsilon_B(\varepsilon_C + 1) \exp\left(\frac{\theta_B - \theta_C}{T}\right)] - (D_B - \varepsilon_B) \frac{dN_B}{N_B dt}, \quad (5)$$

$$\frac{d\varepsilon_C}{dt} = \frac{\varepsilon_C^0 - \varepsilon_C}{\tau_{VV}^C} - \frac{1}{\tau_{VV}^{CA}} [\varepsilon_C(\varepsilon_A + 1) - \varepsilon_A(\varepsilon_C + 1) \exp\left(\frac{\theta_A - \theta_C}{T}\right)] - \\ - \frac{1}{\tau_{VV}^{CB}} [\varepsilon_C(\varepsilon_B + 1) - \varepsilon_B(\varepsilon_C + 1) \exp\left(\frac{\theta_B - \theta_C}{T}\right)] - (D_C - \varepsilon_C) \frac{dN_C}{N_C dt}, \quad (6)$$

где  $\varepsilon_A$ ,  $\varepsilon_B$ ,  $\varepsilon_C$  — среднее число колебательных квантов, приходящихся на один осциллятор  $A$ ,  $B$  или  $C$  соответственно ( $\varepsilon_i = 1/(e^{\theta_i/T_i} - 1)$ );  $T_i$  — колебательная температура осцилляторов  $A$ ,  $B$ ,  $C$ ;  $\theta_i$  — характеристическая температура соответствующего осциллятора ( $i=A$ ,  $B$  или  $C$ );  $\tau_{VV}^i$  — время колебательно-поступательной релаксации соответствующего осциллятора;  $\tau_{VV}^{ij}$  — время колебательно-колебательного обмена между осцилляторами;

$$\tau_{VV}^{AB} = \tau_{VV}^{BA} \cdot \frac{N_A}{N_B}; \quad \tau_{VV}^{BC} = \tau_{VV}^{CB} \cdot \frac{N_B}{N_C}; \quad \tau_{VV}^{AC} = \tau_{VV}^{CA} \cdot \frac{N_A}{N_C};$$

$N_A$ ,  $N_B$ ,  $N_C$  — концентрации осцилляторов  $A$ ,  $B$  и  $C$  соответственно;  $\varepsilon_x$  — среднее число колебательных квантов осциллятора  $A$ , образующихся в элементарном экзотермическом акте (конкретные элементарные стадии, относящиеся к исследуемым системам, подробно рассмотрены в [6]);  $D_B$  и  $D_C$  — среднее число колебательных квантов, расходуемых в актах диссоциации.

Существенное значение для анализа имеет корректное представление константы скорости распада в неравновесных условиях. Обобщая результаты работ [9, 10], запишем для данного случая константу в виде

$$k = k_p \cdot \exp[n^* \theta_B (1/T - 1/T_B)], \quad (7)$$

где  $n^*$  — номер колебательного уровня осциллятора  $B$ , начиная с которого распределение по колебательным уровням близко к Больцмановскому с температурой  $T$ . При использовании выражения (7) следует

полагать, что температура низкочастотных осцилляторов  $C$  близка к газовой.

Представляет интерес проанализировать систему (4)–(6) в двух предельных случаях: на ранних стадиях развития неравновесности и в квазистационарном режиме.

Для рассмотрения первого случая можно ограничиться анализом в линейном приближении. Предполагая отклонения от равновесия малыми и учитывая, что для не слишком высоких температур  $\varepsilon \ll 1$ , получим из (7)

$$k \cong k_p \cdot [1 + n^* \exp(\theta_B/T)(\varepsilon_B - \varepsilon_B^0)].$$

Члены уравнения (4)–(6), описывающие источник и сток колебательной энергии, связаны с  $k$  соотношениями

$$\begin{aligned} 1/N_B \cdot dN_B/dt &= 1/N_C \cdot dN_C/dt = k; \\ 1/N_A \cdot dN_A/dt &= k \cdot N_B/N_A = k \cdot \gamma; \\ \gamma &= N_B/N_A = N_B^0/N_A \cdot \alpha; \quad \alpha = N_B/N_B^0. \end{aligned}$$

В принятых допущениях система уравнений (4)–(6) сводится к системе линейных неоднородных уравнений с постоянными коэффициентами. Полагая, что для низкочастотных осцилляторов  $C$  выполняется условие квазистационарности (т. е.  $d\varepsilon_C/dt = 0$ ), можно, линеаризовав (6), получить связь между  $\varepsilon_A$  и  $\varepsilon_B$  через  $\varepsilon_C$ . При таком упрощении, вытекающем из анализа времен релаксации, система (4)–(6) сводится к уравнениям

$$\begin{aligned} d\varepsilon_A/dt &= b_{AA} \cdot \varepsilon_A + b_{AB} \cdot \varepsilon_B + b_A, \\ d\varepsilon_B/dt &= b_{BA} \cdot \varepsilon_A + b_{BB} \cdot \varepsilon_B + b_B, \end{aligned} \tag{8}$$

где

$$\begin{aligned} b_{AA} &= (a_{AA} - a_{AC}a_{CA}/a_{CC}); \quad b_{AB} = (a_{AB} - a_{AC}a_{CB}/a_{CC}); \\ b_{BA} &= [a_{BA} - (a_{BC}a_{CA}/a_{CC})]; \quad b_{BB} = (a_{BB} - a_{BC}a_{CB}/a_{CC}); \\ b_A &= (a_A - a_{AC}a_C/a_{CC}); \quad b_B = (a_B - a_{BC}a_C/a_{CC}); \end{aligned}$$

$$a_{AA} = \gamma k_p (D_B - 1) - \frac{1}{\tau_{VV}^{AB}} \cdot \exp\left(\frac{\theta_A - \theta_B}{T}\right) - \frac{1}{\tau_{VV}^{AC}} \exp\left(\frac{\theta_A - \theta_C}{T}\right) - \frac{1}{\tau_{VT}^A};$$

$$a_{AB} = \frac{1}{\tau_{VV}^{AB}} + \varepsilon_x D_B \gamma k_p \exp\left(\frac{\theta_B}{T}\right); \quad a_A = \frac{\varepsilon_A^0}{\tau_{VT}^A} - \varepsilon_x \gamma k_p (D_B - 1); \tag{9}$$

$$a_{AC} = \frac{1}{\tau_{VV}^{AC}}; \quad a_{BA} = \frac{1}{\tau_{VV}^{AC}} \frac{N_A}{N_B}; \quad a_B = \frac{\varepsilon_B^0}{\tau_{VT}^B} + D_B (D_B - 1) k_p;$$

$$a_{BB} = - \left\{ \frac{1}{\tau_{VV}^{AB}} \frac{N_A}{N_B} + \frac{1}{\tau_{VV}^{BC}} \exp\left(\frac{\theta_B - \theta_C}{T}\right) + \left( D_B^2 \exp\left(\frac{\theta_B}{T}\right) - 1 \right) k_p + \frac{1}{\tau_{VT}^B} \right\};$$

$$a_{CC} = - \left\{ \frac{1}{\tau_{VT}^C} + \frac{1}{\tau_{VV}^{AC}} \frac{N_A}{N_C} + \frac{1}{\tau_{VV}^{BC}} \frac{N_B}{N_C} + (D_B - 1) k_p \right\}; \quad a_{BC} = \frac{1}{\tau_{VV}^{BC}};$$

$$a_{CB} = \frac{1}{\tau_{VV}^{BC}} \exp\left(\frac{\theta_A - \theta_C}{T}\right) - D_B^2 k_p \exp\left(\frac{\theta_B}{T}\right);$$

$$a_{CA} = \frac{1}{\tau_{VV}^{AC}} \frac{N_A}{N_C} \exp\left(\frac{\theta_A - \theta_C}{T}\right); \quad a_C = \frac{\varepsilon_C^0}{\tau_{VT}^C} + D_B (D_B - 1) k_p.$$

Общее решение системы уравнений (8)–(9) записывается в виде

$$\varepsilon_i = c_1^i \cdot e^{\lambda_1 t} + c_2^i \cdot e^{\lambda_2 t} + c_3^i,$$

где  $\lambda$  и  $\lambda_2$  — корни характеристического уравнения системы (8)–(9)

$$\lambda_{1,2} = \frac{b_{AA} + b_{BB}}{2} \pm \sqrt{\frac{(b_{AA} + b_{BB})^2}{2} + (b_{AB}b_{BA} - b_{AA}b_{BB})}.$$

Критическое условие перехода на экспоненциальное нарастание колебательной энергии в системе реализуется в том случае, если один из корней характеристического уравнения положителен. Анализ коэффициентов (9) показал, что  $(b_{AA} + b_{BB}) < 0$  при любых температурах, поэтому один из корней будет положителен при условии  $(b_{AB}b_{BA} - b_{AA}b_{BB}) > 0$ . Коэффициенты  $b_{ij}$  и  $b_i$  зависят от поступательной температуры, вероятностей  $V-V$ - и  $V-T$ -обмена и от параметров, характеризующих мощность источника и стока колебательной энергии. Этими же величинами и определяется положение критической температурной границы  $T^*$  неравновесного режима. Для вычисления  $T^*$  использовались значения вероятностей  $V-V$ - и  $V-T$ -процессов, рассчитанные в [5]. Положив  $\varepsilon_x = 7$ ,  $n^* = 5$ , для исследуемых смесей  $1-\text{HN}_3:\text{N}_2 = (1:19)$  и  $2-\text{HN}_3:\text{Ar} = (1:19)$  получены значения  $T^*$ , соответствующие изменению знака  $\lambda$ :  $T_{(1)}^* = 1100$  К;  $T_{(2)}^* = 800$  К. Рассчитанная величина  $T^*$  для смеси  $\text{HN}_3:\text{N}_2$  совпадает с найденной экспериментально. В опытах со смесями  $\text{HN}_3:\text{Ar}$  начальная температура была выше критической, поэтому не наблюдалось перехода от равновесного к неравновесному режиму. Полученные константы скорости распада  $\text{HN}_3$  в Ar при расходовании 50%  $\text{HN}_3$  практически не зависят от температуры (рис. 3, б).

Рассмотрим результаты решения для квазистационарной стадии реакции. Приняв  $d\varepsilon_A/dt = d\varepsilon_B/dt = d\varepsilon_C/dt = 0$ , а также полагая, что температура низкочастотных осцилляторов  $C$  равна газовой, т. е.  $\varepsilon_C \approx \varepsilon_C^0$ , получим из (4)–(6) систему двух трансцендентных алгебраических уравнений. Эта система решалась на ЭВМ градиентным методом, дополненным методом «оврагов» [11]. В процессе счета варьировались параметры  $\varepsilon_x$  и  $n^*$  ( $\varepsilon_x = 4 \div 10$ ,  $n^* = 3 \div 6$ ). Результаты расчета температурной зависимости  $k/k_p$  для смеси  $\text{HN}_3:\text{N}_2$  показаны на рис. 5.

Из решения для квазистационарной стадии распада видно, что независимо от величин  $\varepsilon_x$  и  $n^*$  неравновесный режим протекания реакции в смеси  $\text{HN}_3:\text{N}_2$  возникает при  $T^* \approx 1100$  К. Это хорошо согласуется с результатом линейного анализа и с экспериментом. Неравновесный режим осуществляется при 1100–1300 К, причем  $k$  сильно зависит от температуры и степени превращения  $\alpha$ . Величины  $k$ ,  $\varepsilon_A$  и  $\varepsilon_B$  сильно зависят от значений  $\varepsilon_x$  и  $n^*$ . При их увеличении неравновесные явления возникают на более ранних стадиях реакции. Сложный «резонансный» характер зависимости  $k/k_p$  объясняется действием конкурирующих факторов — накачки исходных молекул и процессов потери колебательной энергии в актах релаксации и диссоциации. Неравновесность развивается не при выполнении соотношения  $\tau_\alpha/\tau_p \approx 1$ , которое можно было бы ожидать на основании простейших соображений ( $\tau_\alpha$  и  $\tau_p$  — характерные времена химической реакции и релаксации «активных» мод колебаний, в данном случае  $\tau_p \sim \tau_{VV}^{BC}$ ), а при гораздо более

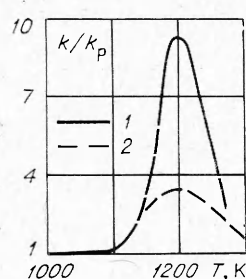


Рис. 5. Расчетная зависимость  $k/k_p$  от температуры для смеси  $\text{HN}_3:\text{N}_2 = (1:19)$ .  
1 —  $\varepsilon_x = 10$ ,  $n^* = 5$ ; 2 —  $\varepsilon_x = 7$ ,  $n^* = 6$ .

мягком (для химической реакции) условии отношение  $\tau_x/\tau_p \approx 10^3$ .

Причина столь большого различия связана с необходимостью сравнивать скорости изменения запаса колебательной энергии в химических и релаксационных процессах. Различие возникает, во-первых, из-за того, что обычно релаксация осуществляется посредством одноквантовых переходов, а в реакциях образуются колебательно-возбужденные молекулы с числом квантов  $\varepsilon_x > 1$ . Во-вторых, скорость релаксации линейно связана с величиной отклонения от равновесия ( $\varepsilon_i - \varepsilon_i^0$ ), а скорость реакции имеет более сильную экспоненциальную зависимость. Впервые этот вопрос был рассмотрен в [9], где объяснено наличие температурной границы отклонения от равновесного распада двух- и многоатомных молекул, протекающего с поглощением тепла. В этом случае неравновесность приводит к «замедлению» реакции и понижению колебательной температуры ( $k/k_p < 1$  и  $T_v/T < 1$ ).

Существование верхней температурной границы неравновесного режима объясняется соотношением скоростей  $V-V$ -обмена и распада. При выполнении неравенства  $\tau_{VV}^{AB}/\tau_x \gg 1$  возбужденные частицы не успевают осуществлять обратную связь и ускорять распад, и реакция протекает практически равновесно. Верхняя температурная граница, вообще говоря, может быть также обусловлена тем, что с ростом температуры  $\tau_{VV}$  и  $\tau_{Vt}$  сближаются по величине, поскольку последние имеют более крутую температурную зависимость. Ширина зоны неравновесности зависит, в частности, от того, насколько велика разница между  $\tau_{VV}^{AB}$  и  $\tau_{VV}^{BC}$ .

В [5, 8] отмечалось, что критическое условие перехода на неравновесный режим реакции с энергетическим автоускорением можно представить в виде

$$\tau_x/\tau_p = \text{const.} \quad (10)$$

Из линейного анализа, изложенного выше для величины  $\tau_x/\tau_p$  в (10), получается соотношение

$$\tau_x/\tau_p \approx \frac{(\varepsilon_x - D) n^*}{\varepsilon_B^0 \exp\left(\frac{\theta_B - \theta_C}{T}\right) \cdot (1 + \varepsilon_C^0)}. \quad (11)$$

Если для описания распада с энергетическим автоускорением использовать математический аппарат теории теплового взрыва, критическое условие определяется уравнением

$$\tau_x/\tau_p \approx (\varepsilon_x - D) n^*/\varepsilon_0^B \cdot e. \quad (12)$$

В рассматриваемом случае отличие в величинах  $\tau_x/\tau_p$ , вычисленных по уравнениям (11) и (12), оказывается малосущественным и  $\tau_x/\tau_p \approx 10^3$ . С помощью (11) можно определить критические значения «внешних» параметров —  $T^*$ ,  $p^*$  и  $x^*$ . Зависимость  $\tau_p$  от плотности и парциальной концентрации распадающихся молекул  $x$  линейна (рис. 6, а), как показано в [12], экспериментально определенная зависимость  $\tau_x^{-1}$  от плотности является функцией степени неравновесности.

Представив величину  $\tau_x^{-1}$  в виде

$$\tau_x^{-1} \approx h_{\text{набл}} \sim \rho^{(a+b)} (x)^a (1-x)^b,$$

получим, что суммарный показатель степени  $(a+b) > 2$  при умеренных значениях плотностей и  $(a+b) < 2$  при повышении плотности (рис. 6, а). В итоге (рис. 6, а) реализуется два критических значения плотности

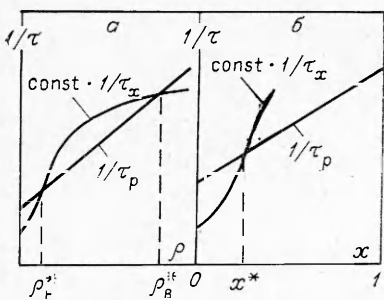


Рис. 6. Зависимость характерных времен химической реакции ( $\tau_x$ ) и релаксации ( $\tau_p$ ) от плотности (а) и от мольной концентрации исходного реагента (б).

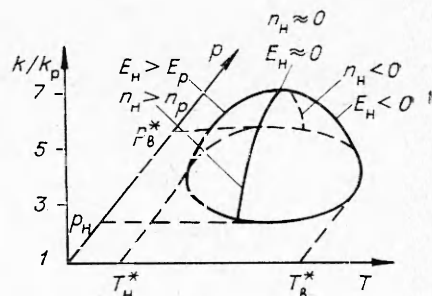


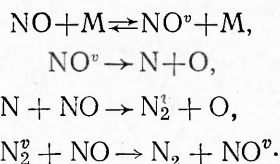
Рис. 7. Схематическая диаграмма изменения кинетических параметров реакции  $k$ ,  $E$ ,  $n$  в ходе неравновесного экзотермического процесса ( $E_p$ ,  $n_p$ -равновесные значения энергии активации и порядка реакции по давлению соответственно).

$\rho_H^*$  и  $\rho_B^*$  (а соответственно и давления), для которых выполняется критическое условие (10). Наличие критической парциальной концентрации  $x^*$  при фиксированном значении плотности объясняется аналогично.

Схематично зависимость отношения  $k/k_p$  от давления и температуры при выполнении условия  $x > x^*$  показаны на рис. 7, где максимальные значения неравновесности расположены на участке плоскости  $p - T$ , ограниченном критическими значениями  $p^*$  и  $T^*$ . Сечение поверхности  $k/k_p$  плоскостями с фиксированными значениями  $p$  и  $T$  позволяет проиллюстрировать зависимость  $k/k_p$  от этих величин.

Закономерности, связанные с появлением критических условий для неравновесного режима реакций, имеют общий характер и проявляются на ряде реагирующих систем, рассмотренных в [13]. Эти закономерности присущи не только экзотермическим реакциям, которые исследованы в данной работе, но и эндотермическим процессам. Необходимо, чтобы вслед за первичным актом протекали экзотермические стадии с образованием сверхравновесно возбужденных продуктов, которые могут осуществлять обратную связь посредством  $V-V$ -обмена с исходными реагентами. Так, в работе [8] высказана и подтверждена экспериментально возможность наблюдения неравновесных эффектов при эндотермическом распаде  $\text{NO}_2$ . При изучении распада  $\text{BrCN}$  [14] для объяснения результатов измерений также используется идея энергетических цепей с  $V-V$ -обменом между  $\text{C}_2\text{N}_2^+$  и  $\text{BrCN}$ .

Для хорошо изученной реакции распада  $\text{NO}$  оказалось необходимым принимать во внимание энергетические цепи:



В [15, 16] широко привлекаются для интерпретации экспериментальных данных по кинетике молекулярных обменных реакций типа  $\text{D}_2 + \text{C}_2\text{N}_2$  и  $\text{H}_2 + \text{C}_2\text{N}_2$  цепные механизмы с участием колебательно-возбужденных продуктов.

Общность исследованных в данной работе закономерностей заключается в том, что они могут быть характерны не только для неравно-

весных условий, возникающих в ходе реакции, но и для неравновесности, создаваемой посторонними источниками, например при лазерной накачке или электронном ударе. Если критическое значение  $\tau_x/\tau_p$  достигается с помощью селективной лазерной накачки активного типа колебания, то дальнейший ход процесса будет во многом определяться не источником, а кинетическими особенностями неравновесной реакции.

Поскольку разогрев активной моды колебаний зависит от мощности накачки  $J$ , то вместо критических значений  $p^*$  и  $T^*$ , имеющих место для реакций с термическим инициированием, будут существовать критические значения  $J^*$  и  $p^*$  (при неизменном значении  $x$ , превышающем  $x^*$ ).

При исследовании процессов с предполагаемым влиянием возбужденных частиц часто в качестве решающих экспериментов рассматривают опыты с малыми добавками газа (чаще многоатомного), являющегося «тушителем» возбуждения. С точки зрения результатов данной работы такие эксперименты не всегда однозначны. Добавки могут смещать критические значения параметров, и неравновесный режим исчезает лишь в том случае, если оба критических параметра совпадают. Возможно также и расширение зоны неравновесности при введении добавок, например, за счет увеличения скорости  $V-V$ -обмена между возбужденными продуктами и исходными молекулами, если одна из колебательных частот добавки является промежуточной между частотами  $A$  и  $B$  (см. рис. 4), а также если добавка уменьшает величину  $\tau_x$ . Поэтому в опытах с добавками «тушителей» можно получить более обширную информацию, если исследовать зависимость скорости реакции от концентрации добавки в широком диапазоне. При достаточно больших концентрациях последней неравновесность будет подавлена.

ИХФ АН СССР,  
Москва

Поступила в редакцию  
17/XI 1975

#### ЛИТЕРАТУРА

1. В. Н. Кондратьев, Е. Е. Никитин. Кинетика и механизм газофазных реакций. М., «Наука», 1974.
2. Д. А. Франк-Каменецкий. Диффузия и теплопередача в химической кинетике. М.—Л., «Наука», 1967.
3. Н. Н. Семенов, А. Е. Шилов. Кинетика и катализ. 1965, **6**, 3.
4. А. Е. Шилов.—В сб.: Химическая кинетика и цепные реакции. «Наука», 1966, с. 229.
5. И. С. Заслонко, С. М. Когарко и др. Кинетика и катализ, 1973, **14**, 549.
6. И. С. Заслонко, С. М. Когарко и др. ФГВ, 1974, **10**, 5, 623.
7. Е. В. Можухин. Канд. дис., ИХФ АН СССР, 1974.
8. И. С. Заслонко, С. М. Когарко. Е. В. Можухин. ФГВ, 1973, **9**, 3, 339.
9. Н. М. Кузнецов. Теоретическая и экспериментальная химия, 1971, **7**, 22.
10. Б. Ф. Гордиец, А. И. Осипов, Л. А. Шелепин. Препринт. ФИАН, № 19, 1971.
11. Применение вычислительной математики в химической и физической кинетике. М., 1969, «Наука».
12. И. С. Заслонко, С. М. Когарко, Е. В. Можухин. Докл. АН СССР, 1973, **210**, 1127.
13. И. С. Заслонко, С. М. Когарко и др. Докл. АН СССР, 1972, **202**, 1121.
14. P. J. Kayes, B. P. Levitt. Traus, Far. Soc., 1973, **69**, 1415.
15. J. M. Grivrabach, R. D. Kegi. J. Chem. Phys., 1973, **77**, 1329.
16. J. M. Grivrabach, R. D. Kegi. J. Chem. Phys., 1972, **76**, 285.
17. Н. М. Кузнецов. Докл. АН СССР, 1965, **164**, 1097.